

سازمان اسناد و کتابخانه ملی
جمهوری اسلامی ایران

۳۸۹۱۸

۱۳۸۰ / ۷ / ۳۰

بسم الله الرحمن الرحيم

مطالعه آهنگ چرخش میون در همجوشی ω با در نظر گرفتن
انتقال میون از ω به ایزوتوبهای هلیم

بوسیله

روح الله قیصری

پایان نامه

ارائه شده به دانشکده تحصیلات تکمیلی به عنوان بخشی از فعالیت های
تحصیلی لازم برای اخذ کارشناسی ارشد

در رشتہ

فیزیک

از

دانشگاه شیراز
شیراز، ایران

ارزیابی و تصویب شده توسط کمیته پایان نامه با درجه: عالی
امضاء اعضاء کمیته پایان نامه:

دکتر محمد رضا اسکندری، استاد بخش فیزیک (رئیس کمیته)

دکتر محمد مهدی گلشن، استادیار بخش فیزیک

دکتر عبدالناصر ذاکری، استادیار بخش فیزیک

شهریور ماه ۸۰

۳۸۹۱۸

سپاسگزاری

اینک که به یاری پرورده‌گار انجام این رساله به پایان رسید، لازم میدانم که از زحمات استاد گرانقدرم جناب آقای دکتر محمد رضا اسکندری که در تهیه و تنظیم این پایان نامه مرا یاری نمودند و زحمات فراوانی برای اینجانب کشیدند تقدیر و تشکربه عمل آورم. همچنین از اعضای محترم کمیته دفاع، آقایان دکتر محمد مهدی گلشن و دکتر عبدالناصر ذاکری کمال تشکر را دارم و توفیق همگی آنها را از خداوند متعال خواستارم.

تقدیم به: روح والای پدرم که یادش مرا زنده نگه داشته است

چکیده

مطالعه آهنگ چرخش میون در همجوشی μdd با در نظر گرفتن
انتقال میون از μd به ایزوتوبهای هلیم.

توسط:

روح الله قیصری

مطالعات قبلی کاتالیزور میونی D-D ، نشان داده است که نتایج حاصل از تئوری با جوابهای حاصل از تجربی همخوانی ندارد. در این پایان نامه سیستم همجوشی با سوخت خالص دوتریم در حالت ناپایا با زمان مطالعه و تأثیر انتقالات میون از μd به ایزوتوبهای هلیم تولیدی که باعث ناپایداری سیستم همجوشی می شود بررسی شده است. نتایج محاسبات مربوطه در سه دمای $K, 25$ و 70 با نتایج حاصل از آزمایش به ازاء $(Cm^{-3})^{10^8} \sim 10^9$ مقایسه گردیده و نشان داده شده است که هنوز مقدار خطای حاصل از این تئوری به طور متوسط کمتر از ۹ درصد است. محاسبات نشان می دهد که درصد تأثیر انتقالات تعویضی ذکر شده در مقدار سیکل چرخشی میون در محدوده $10^{-7} \sim 10^{-3}$ درصد است که اصلاً قابل ملاحظه نیست.

در پایان کار سیستم را در شرایط مختلف نظیر تشدیدی، غیر تشدیدی و راندوم بررسی کرده ایم و نشان داده شده است که به

از اء چگالیهای یونی $\Phi > 2,3 \text{ LHD}$ در شرایط تشیدی مولکول μppd ، سیستم هایبرید آن می تواند بهره ور شود.

فهرست مطالب

عنوان	صفحه
فصل اول: مقدمه	۱
۱-۱- مقایسه انرژی های شکافت و همجوشی	۲
۲-۱- فاصله هسته ها در همجوشی	۴
۳-۱- واکنشهای همجوشی هسته های سبک	۵
فصل دوم: سیستم های همجوشی	۷
۱-۲- آهنگ انجام واکنش D-D و D-He و D-T متناسب با انرژی آزاد	۱۰
شده	۱۱
۲-۱- مودهای مصرف D-D	۱۲
۲-۲- الف- مود D خالص	۱۴
۲-۳- ب- مود اسکات (نیمه کاتالیزد)	۱۵
۲-۴- تولید ذره زیر هسته ای میون در شتاب دهنده ها و عمل کاتالیز آن	۱۶
۳-۱- همجوشی در D-D و محیط های دیگر هیدروژنی از طریق کاتالیزور میونی	۱۷
۳-۲- گسترش اقتاری نیرو گامهای $d-d$	۲۰
۳-۳- سیستم های هایبرید و توان مفید	۲۱
فصل سوم: مکانیزم تشکیل مولکولهای میون دار در سیستم ناپایا	۲۴
۱-۱- تشکیل μd و μdd	۲۴
۱-۲- انتقال میون از μd در حالت پایه به $He^{3,4}$	۲۶
۲-۱- معرفی شبکه آهنگ چرخش میون و محاسبات عددی	۴۱
۲-۲- معرفی شبکه سیستم CF $\mu \mu$ و طرح آن	۴۱
۳-۱- معادلات حاکم بر سیستم همجوشی	۴۳
۳-۲- معرفی آهنگ چرخش میون به عنوان پارامتر اصلی	۴۵
۳-۳- محاسبات عددی	۴۷

فصل پنجم: محاسبات عددی و نتیجه گیری

۷۰ مراجع

فهرست اشکال

عنوان	صفحه
شکل ۱-متوسط انرژی بستگی به ازاء هر نوکلئون بر حسب عدد جرمی ۱	
شکل ۱-۲-۱-الف: فشردگی مغناطیسی ب: اینرسی پ: کاتالیزور میونی ۹	
شکل ۱-۲-۲-نمونه طراحی قرص سوخت در سیستم ICF ۹	
شکل ۱-۳-۱-پارامتر d برای سوخت های همجوشی گوناگون که بوسیله توزیع یونی ماکسولی مشخص شده است ۱۳	
شکل ۱-۴-۱-نمایش مربوط به واکنش تولید مولکول میون μd به عنوان شاخه اصلی سیستم ۱۹	
شکل ۱-۶-۱-سطح مقطع های تکثیر نوترون که برای نوترون حاصل از همجوشی $d+1$ امکان پذیر است ۲۲	
شکل ۱-۶-۲-آهنگ تشکیل MMC ۲۶	
شکل ۱-۷-۱-الف-۱-نمودار آهنگ تشکیل تشدیدی MMC بر حسب دما که در آن F اسپین d با اسپین $d+1$ است ۲۷	
شکل ۱-۷-۲-الف-۲-نمودار آهنگ تشکیل MMC بر حسب دما ۲۸	
شکل ۱-۷-۳-نمودار اسپینی d با $d+1$ و طریق انتقالات ۲۹	
شکل ۱-۷-۴-نمودار متوجه آهنگ تشکیل d بر حسب دما ۳۰	
شکل ۱-۸-۱-پ-۱-سطح مقطع های الاستیک (i,j) و غیر الاستیک (i,j) بر حسب انرژی مولکول D که از تئوری بدست آمده ۳۰	
شکل ۱-۸-۲-آهنگ کانال برگشتی: حالت تشدیدی (منحنی ۱) و حالت غیر تشدیدی (منحنی ۲)، جمع آهنگ تشدیدی (منحنی ۳) و نقاط از آزمایش بدست آمده اند ۳۱	
شکل ۱-۸-۳-آهنگ پراکندگی ۳۲	
شکل ۱-۸-۴-آهنگ تبادل اسپینی $1/2 \rightarrow 3/2$ بر حسب دما در دوتایی خالص ۳۳	
شکل ۱-۹-آهنگ تشکیل مولکول میونی μd بر حسب دما ۳۴	

شكل ۱-۲-۱- سطح مقطع غیر الاستیک بین μ_{dd} و $\mu_{^4He}$ انرژی E و μ_{dd} انرژی هلیم.	منحنی (۱) مربوط به 3He و منحنی (۲) مربوط به 4He
..... ۳۷ ۳۷
شكل ۱-۲-۲- نمودار $\lambda_{^4He}$ بر حسب دما ۳۷
..... ۳۷ ۳۷
شكل ۱-۲-۳- نمودار $\lambda_{^3He}$ بر حسب دما ۳۷
..... ۳۹ ۳۹
شكل ۱-۲-۴- نمایی از کانالهای اصلی انتقال میون به هلیم ۳۹
..... ۳۹ ۳۹
شكل ۱-۲-۵- طیف مربوط به اشعه X در هر دو حالت کوانتمی $J=0$ و $J=1$ مربوط به 4He و 3He به صورت تئوری آزمایشی ۴۰
..... ۴۰ ۴۰
شكل ۱-۳- شبكه واکنش برای میون در محیط پیشنهادی دوتریم-دوتریم، با در نظر گرفتن انتقالهای ممکن میون از دوتریم به هسته های هلیم تولیدی ۴۲
..... ۴۲ ۴۲
شكل ۱-۴- توزیع نوتریونی به ازاء $1 = \phi$ در دمای 30K (شرایط تشکیل تشدیدی μ_{dd}) ۶۲
..... ۶۲ ۶۲
شكل ۱-۵- توزیع نوتریونی به ازاء $1 = \phi$ در دمای 30K (شرایط تشکیل راندوم μ_{dd}) ۶۳
..... ۶۳ ۶۳
شكل ۱-۶- توزیع نوتریونی به ازاء $1 = \phi$ در دمای 30K (شرایط تشکیل غیر تشدیدی μ_{dd}) ۶۴
..... ۶۴ ۶۴
شكل ۱-۷- توزیع نوتریونی به ازاء $1 = \phi$ در دمای 300K (شرایط تشکیل راندوم μ_{dd}) ۶۵
..... ۶۵ ۶۵
شكل ۱-۸- توزیع نوتریونی محاسبه شده به ازاء $0.02 = \phi$ در دمای 25.5K ۶۶
..... ۶۶ ۶۶
شكل ۱-۹- توزیع نوتریونی آزمایشی به ازاء $0.02 = \phi$ در دمای 25.5K . منحنی های خط چین ($F = 1 / 2, 3 / 2$) مربوط به حالت هایی است که اتم میونی μ_{dd} با اسپین F، در تشکیل μ_{dd} شرکت کند ۶۶
..... ۶۶ ۶۶

شکل ۵-۷-توزيع نوترونی به ازاء $\phi = 0.02$ در دمای ۱۵۰K محاسبه شده در این رساله ۶۶

شکل ۵-۸-توزيع نوترونی آزمایشی به ازاء $\phi = 0.02$ در دمای ۱۵۰K . منحنی های خط چین ($F = 1 / 2, 3 / 2$) مربوط به حالت هایی است که اتم میونی $d\mu$ با اسپین F ، در تشکیل μdd شرکت کند ۶۶

فهرست جداول

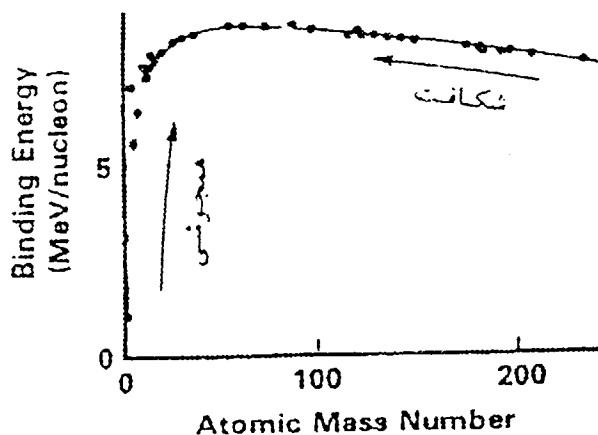
عنوان	صفحة
جدول ١-٢	١٠
جدول ١-٥	٥١
جدول ٢-٥	٥٣
جدول ٣-٥	٥٤
جدول ٤-٥	٥٥
جدول ٥-٥	٥٦
جدول ٦-٥	٥٧
جدول ٧-٥	٥٨
جدول ٨-٥	٥٩
جدول ٩-٥	٦٠

فصل اول

مقدمه

رشد جمعیت با نیاز انسانها به انرژی نسبت مستقیم دارد. از اواسط قرن حاضر جمعیت جهان دو برابر، و نیاز انسانها برای انرژی سه برابر شد. احتمال می‌رود که شارء گاز طبیعی بین پنجاد تا صد سال آینده بکلی تمام شود و یا دیگر سوزاندن آنها به عنوان تولید انرژی قابل توجیه نباشد. لذا باید فکری اساسی کرد.

با پیشرفت علم فیزیک هسته‌ای، در اوایل قرن بیستم توجه بشر به انرژیهای زیاد ناشی از واکنشهای هسته‌ای به عنوان منبع عظیمی از انرژی جلب شد. از همان آغاز مطالعات روی تولید انرژی هسته‌ای با توجه به منحنی متوسط انرژی بستگی به ازاء هر نوکلئون، برحسب عدد جرمی (شکل ۱)، دو راد پیشنهاد گردید. راد اول شکافت هسته‌ای و راد دوم همجوشی هسته‌ای [۱, ۲].



شکل ۱: متوسط انرژی بستگی به ازاء هر نوکلئون برحسب عدد جرمی [۱].

به علت مشکلات وابسته به پدیده شکافت مخصوصاً آلودگی ناشی از پسماندهای شکافت که اکثراً رادیواکتیویتهای بسیار فعال می‌باشند، همچنین موارد استفاده‌های تسلیفاتی از بعضی موارد نظری پلوتونیم از یک طرف

ومحدود بودن منابع سوخت آنها از طرف دیگر (۵۰-۱۰۰ سال آینده بدون استفاده از راکتورهای زاینده) باعث می شوند تا توجه محققین به قسمتهای دیگر منحنی، یعنی آزاد سازی انرژی از طریق همجوشی هسته ای جلب شود. و با الهام گرفتن از اینکه انرژی ناشی از خورشید و سایر ستاره ها بر اساس فرآیند همجوشی است، بر آن شدند تا فرآیندهای همجوشی را در روی زمین به عنوان منابع انرژی مورد بررسی قرار دهند. فرآیندهای همجوشی علاوه بر اینکه منبع جدیدی از انرژی هستند مزیتهای دیگری هم دارند که به بعضی از این مزایا می توان اشاره کرد.

- ۱- فراوانی و قابل دسترس بودن سوختهای همجوشی.
 - ۲- انرژی آزاد شده به ازاء هر نوکلئون سوخت در همجوشی هسته ای بیش از فرآیندهای شکافت است.
 - ۳- قابل کنترل بودن فرآیندهای همجوشی بسیار ساده تر از فرآیندهای شکافت است.
 - ۴- نوترون تنها ماده رادیواکتیو در محصولات همجوشی D/T و D/D می باشد که دارای نیمه عمر کوتاهی بوده و با بکاربردن بلانکتهای مناسب قابل کنترل می شود. بنابرین مشکل پسماندهای رادیواکتیو واکنشهای شکافت به صورت عمدت در همجوشی وجود ندارد.
- می توان از معايير پديده شکافت به وقایع تاریخی انفجار در نیروگاههای هسته ای چرنوبيل و تری مایل آيلند اشاره کرد که به علت غیر قابل کنترل بودن بعضی سیستم های آنها مشکلات عدیده ای را به بار آوردهند.

۱-۱: مقایسه انرژیهای شکافت و همجوشی:

به عنوان یک واکنش عمرمند فرآیند زیررا در نظر می گيريم.

$$a + b \rightarrow c + d + Q_{ab} \quad (1-1-1)$$

که در آن Q_{ab} ، انرژی آزاد شدد، از رابطه زیر محاسبه می شود.

$$Q_{ab} = [(m_a + m_b) - (m_c + m_d)]c^2 = -\Delta m_{ab}c^2 \quad (2-1-1)$$

که در آن Δm_{ab} ، اختلاف جرم واکنش نام دارد. به روشنی اگر $\Delta m_{ab} < 0$ باشد ، Q_{ab} مثبت یعنی واکنش خود به خودی است و در غیر این صورت اگر

$Q_{ab} < \Delta m_{ab}$ باشد، Q_{ab} منفی است و برای پیشرفت واکنش برای تولید هسته‌های c و d مقداری انرژی به عنوان انرژی اولیه لازم می‌شود. معادله (۲-۱-۱) همان شکل بسیار آشنای $E=mc^2$ ، فرمول رابطه جرم-انرژی اینشتین، می‌باشد واکنش (۱-۱-۱) واکنش کلی برای واکنش‌های همجوشی و شکافت می‌باشد.

این ایده مهم تبادل جرم انرژی را می‌توان به شکل زیر تقویت کرد: تعداد Z پروتون ایزوله شده، هر کدام دارای جرم m_p ، تعداد نوترون ایزوله شده دارای جرم هر کدام m_n را در نظر می‌گیریم، اگر $A=N$ نوکلئون با هم ترکیب شوند و هسته‌ای با جرم در حال سکون m_A را ایجاد کنند، می‌توان اختلاف جرم نهایی و جرم ایزوله شده را با Δm نشان دهیم.

$$\Delta m = m_A - (Zm_p + Nm_n) \quad (۳-۱)$$

نکته مهم این است که $\Delta m < 0$ می‌باشد و می‌توان این کاهش جرم را به صورت زیر نوشت.

$$-(\Delta m'/A)c^2 = [(Zm_p + Nm_n) - m_A]c^2 / (Z + N) \quad (۴-۱)$$

که نشانگر میانگین انرژی به ازاء یک نوکلئون است. اسم انرژی بستگی به این کمیت داده شده و بستگی آن به عدد جرمی A در شکل (۱) نشان داده شده است. تمام سیستم‌های هسته‌ای بگونه‌ای طراحی شده اند که مقداری از این انرژی پیوستگی استخراج شود. همان گونه که در شکل (۱) نشان داده شده است، شکافت در ناحیه‌ای انجام می‌گیرد که عدد جرمی A زیاد است و این ناحیه در بر گیرنده شکسته شدن یک هسته سنگین به هسته‌های کوچکتر بوسیله جذب نوترون است. در حالیکه همجوشی در بر گیرنده ترکیب دو هسته سبک برای تشکیل دو یا سه محصول می‌باشد که حداقل یک هسته محصول سنگین تر از هسته‌های شرکت کننده در همجوشی (قبل از واکنش) می‌باشد [۱]. شرط لازم و کافی جهت انجام واکنش‌های شکافت و همجوشی رابطه زیر است.

$$Q_{ab} + T_0 > 0 \quad (۵-۱-۱)$$

که در آن T_0 انرژی جنبشی هسته a در دستگاه مرکز جرم می‌باشد [۳]. با آوردن یک مثال، مقدار انرژی که به ازاء هر نوکلئون، از شکافت و همجوشی